

北大 正員 松井 司  
" " 角田 与史

1 まえがき 本研究は変断面鉄筋コンクリート桁の耐荷機構を明らかにするための基礎段階として、スパン中央部から支点に向って桁高さ、あるいは桁幅を直線的に変化させた単純支持の変断面矩形桁について、せん断破壊実験を行ない、せん断強さ、せん断ひびわれ、破壊性状について調べたものである。

2 試験桁および試験方法 試験桁はすべて、スターラップなどのせん断補強のない單鉄筋矩形桁で、中央部には載荷するための10cm幅の定断面を有している。桁高さに変化ある場合の実験シリーズIに用いた試験桁は図-1に示す如くである。このシリーズの基準の桁の寸法は桁幅10cm、中央部の桁高さ $h_1$ 20cm、支点から載荷板の端までのせん断スパン $a=50\text{cm}$ 、 $a/d_1=2.94$ 、主鉄筋は2D16、中央部における鉄筋比 $p_1=0.23\%$ であった。支点上の桁高さ $h_2$ と $h_1$ との比が1である定断面桁、および0.75, 0.5の変断面桁、計3本を基準セットとした。この基準セットに対し、 $a$ のみを35, 65, 80cm ( $a/d_1$ はそれぞれ0.6, 3.82, 4.70)に変えた3セット、鉄筋をD13, D10 ( $p_1$ はそれぞれ1.42, 0.8%)に変えた2セット、 $a/d_1$ ははば一定として $h_1$ を30, 40, 50cm ( $a$ をそれぞれ80, 110, 140cm,  $p_1$ はそれぞれ1.40, 1.0, 0.81%)に変えた3セット、計8セット試験を行つた。また桁幅を変化した実験シリーズIIでは図-2の如く、桁高さは20cm、 $a=50\text{cm}$ 、鉄筋は2D16を一定として、中央部の桁幅 $b_1$ を10, 20, 30cmの3種、支点上の桁幅 $b_2$ も10, 20, 30cmの3種の組合せ合計9本について試験

を行なつた。使用した鉄筋はSD35に合格するもので、D16の降伏強さは $3912\text{kg/cm}^2$ 、引張り強さは $5933\text{kg/cm}^2$ であり、D13, D10もそれぞれ $3965, 5920; 4053, 5766\text{kg/cm}^2$ であった。コンクリートに使用したセメントは早強ポルトランドセメントで、コンクリートの配合は $W/C=45\%$ ,  $S/A=0.455$ であつて、スランプは平均3cmの硬練りコンクリートを用いた。コンクリート打設は高さ方向に、はば2層に分け、棒状内部振動機を用いて打設した。表面仕上げは定規などを用いて所定の高さに仕上げた。残念1週間で試験を行なつたが、そのときのコンクリートの圧縮強度は平均 $33.6\text{kg/cm}^2$ 、標準偏差は $30.3\text{kg/cm}^2$ であった。試験は中央部の10cm部分に載荷板のせん断載荷とした。測定はせん断ひびわれ発生荷重（せん断ひびわれが生長して、桁の中立軸を横切った時の荷重）、最大荷重、せん断ひびわれの位置、および破壊性状である。桁1本の試験所要時間は約20~30分であつた。

3 試験結果および考察 シリーズIにおいて、一般に $a/d_1$ が小さい時、せん断ひびわれが発生した後も荷重が増大し、せん断ひびわれにより破壊した。 $a/d_1$ が大きくなるとせん断ひびわれの発生と共に桁が破壊した。また破壊時でも荷重増加停止直後、あるいは荷重降下して停止してからのもの、あるいは再び荷重が上昇して破壊するものなどいろいろのケースが見られた。同じセットでも一般に変断面桁の方が破壊時の衝撃が大きい様で

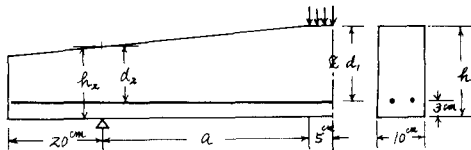


図-1 シリーズIの試験桁

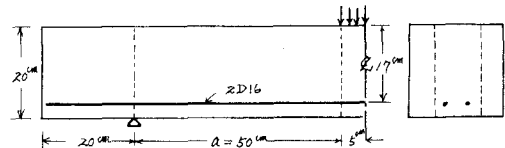
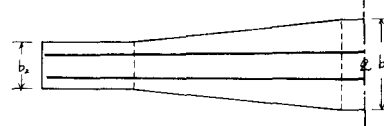
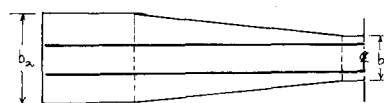


図-2 シリーズIIの試験桁

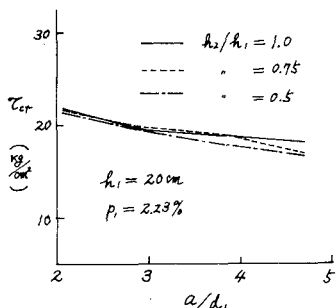


図 - 3

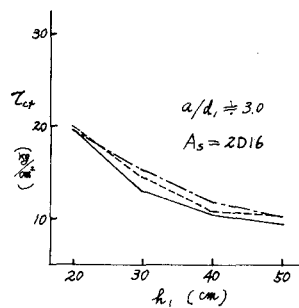


図 - 4

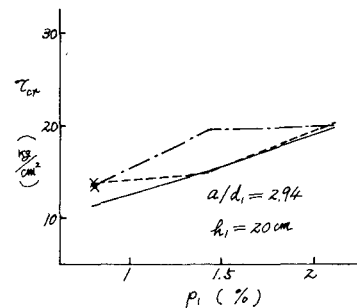


図 - 5

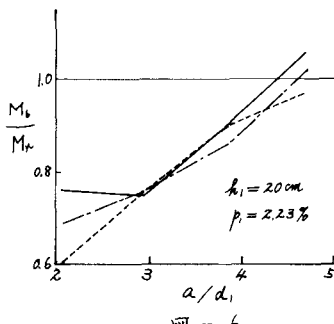


図 - 6

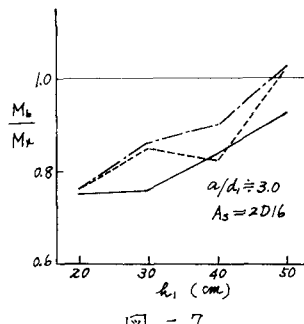


図 - 7

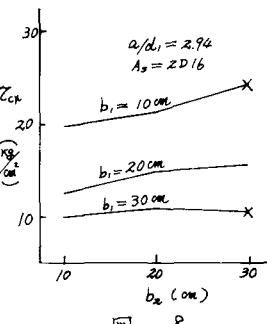


図 - 8

ある。 $p_1$  が 0.8% 近くの場合、曲げ破壊するもの (D10 使用変断面筋) と、鉄筋の降伏後でもせん断破壊するもの ( $h_1=50$  cm の変断面筋) があつた。図一三～五はシリーズ I の試験結果である。ひびわれせん断応力  $T_{cr}$  および抵抗曲げモーメント  $M_r$  はすべて中央部の断面寸法で計算を行なつた。また図中の実線は定断面筋、実線・鎖線は  $h_2/h_1$  がそれぞれ 0.75, 0.5 の変断面筋である。図-3 により  $a/d_1$  の増加と共に  $T_{cr}$  は小さくなり、変断面筋、定断面筋との間の差異はあまりない様である。しかし図-4 では、荷高さの増加と共に  $T_{cr}$  は小さくなるが変断面筋の方が定断面筋に比し、大きな  $T_{cr}$  を示した。図-5 では鉄筋比の減少と共に図-4 のことが云える様である。なお図中  $\times$  印は曲げ破壊したことを示す。図-6, 7 は破壊曲げモーメント  $M_b$  と  $M_r$  との比を示したものである。定断面筋では一般に、ある  $a/d$  で  $M_b/M_r$  は最小値を示し、 $a/d$  の値から離れるに従つて  $M_b/M_r$  の値が大きくなるといわれているが、この実験でも定断面筋ではこの傾向が認められる。しかし変断面筋ではこの傾向が認められなかつた。図-7 では  $h_1$  の増大と共に  $M_b/M_r$  の値は一般に大きくなり、変断面筋の方がや、定断面筋より大きい値を示している様である。図-8 はシリーズ II における試験結果である。中央断面の幅  $b_1$  によってせん断応力は著しく異なる。また支点上の幅  $b_2$  の影響もあるが  $b_1$  ほどの影響は認められなかつた。定断面筋の場合、一般にせん断ひびわれの先端は載荷板の線端に到達しているが、変断面筋の場合  $a/d_1$  が大きくなるに従つて、その先端が載荷板から遠ざかる傾向があつた。

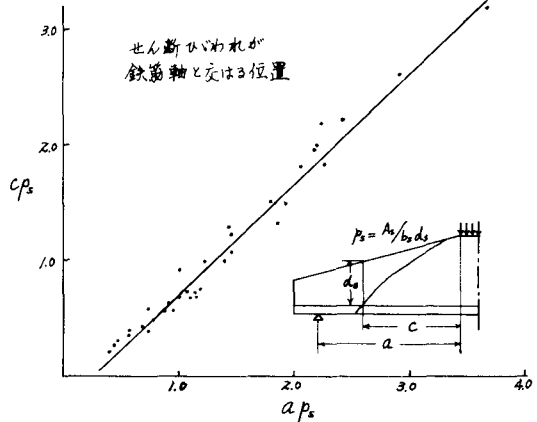


図 - 9